

Глава 1**Рентгеноанатомия грудной клетки**

Учебные цели главы	7
Скелет грудной клетки	8
Ориентировочное деление легких	10
Долевое строение легких	10
Сегментарное строение легких	12
Трахеобронхиальное дерево	13
Сегментарное строение легких на КТ	14
Мелкое структурное деление легких	16
Сосуды легких (<i>vasa publica</i>)	18
Границы тени средостения	20
Интерстиций и лимфоотток	21
Признаки интерстициальной инфильтрации	21
Бронхиальные сосуды (<i>vasa privata</i>)	22
Иннервация	22

Глава 2**Интерпретация рентгенограммы**

Учебные цели главы	23
Сравнение рентгенограмм в передней и задней прямой проекции	24
Калибр легочных сосудов	25
Глубина вдоха	25
Отсеивающая решетка (растяг.)	26
Определение КТИ	27
Возрастные изменения размеров сердца	27
Симптом «силиума»	28
Перфузия и вентиляция	29
Последовательность анализа рентгенограммы	30
«Кричащее легкое» (педиатрия)	31
Проверьте себя!	32

Глава 3**Грудная стенка: скелет и мягкие ткани**

Учебные цели главы	35
Асимметрия прозрачности легочных тканей	36
Другие мягкотканые затенения	37
Скопления воздуха в мягких тканях	38
Анатомические варианты строения скелета грудной клетки	39
Ключицы	40
Акромиально-ключичное сочленение	40
Плечевая кость	41
Подсчет и определение ребер	42
Дегенеративные изменения позвоночника	43
Болезнь Шайермана-Мая	44
Ребра	45
Костные метастазы	46
Верхний этаж брюшной полости	48
Проверьте себя!	49

Глава 4**Плевра**

Учебные цели главы	51
Нормальная рентгенологическая картина	51
Фиброз плевры	54
Плевральные бляшки	56
Новообразования плевры	58
Торакоцентез	60
Проверьте себя!	62

Глава 5**Средостение**

Учебные цели главы	63
Контуры тени средостения в норме	64
Расширение тени средостения	66
Загрудинный зоб	68
Лимфомы	69
Тимус (вилочковая железа)	70
Герминогенные опухоли	71
Лимфангиома	71
Увеличение лимфатических узлов	72
Увеличение корней легких	73
Центральный рак легкого	76
Изменения сосудов корней легких	77
Нейрогенные опухоли	78
Абсцесс средостения	79

Сердце

Кардиомегалия	81
Пороки клапанов	82
Аортальная конфигурация	83
ДД между стенозом и недостаточностью	84
Митральная конфигурация	85
Врожденные пороки сердца	86
Тетрада Фалло	87

Перикард

Перикардиальный выпот / тампонада сердца	90
Перикардит / Пневмоперикард	91
Кисты перикарда	92

Аорта

Аневризмы аорты	93
Расслоение аорты	94
Атеросклероз аорты	95

Пищевод

Дивертикулы пищевода	96
Рак пищевода	97
Диафрагмальные грыжи	98
Эмфизема средостения / смещение средостения	99
Проверьте себя!	101

Глава 6**Изменения прозрачности легочных полей**

Учебные цели главы	105
Снижение прозрачности	
Плевральный выпот	106
Симптом «серпа» («полумесяца»)	107
ДД плеврального выпота	108
ДД «белого легкого»	110
Ателектаз верхней доли	111
Ателектаз средней доли	112
Ателектаз нижней доли	113
ДД ателектаза НД	113
Сегментарный ателектаз	114
ДД сегментарных ателектазов	115
Пневмония	116
Неправильная интубация	117
Опухоли	117

Просветления

Основы ДД просветлений	118
Эмфизема	118
Пневмоторакс	120
Напряженный пневмоторакс	120

Проверьте себя!

121

Содержание

Глава 7	Очаговые изменения легочных полей	
Учебные цели главы	123	
ДД одиночных очаговых изменений		
Общие критерии ДД очаговых затемнений	124	
Критерии доброкачественности	124	
ДД одиночных очаговых затемнений	125	
Метастазы в легких	126	
Доля непарной вены	127	
Классификация немелкоклеточного рака легких (НМРЛ) по системе TNM [7.2]	128	
Рак легкого		
Классификация	129	
Клиническая картина	129	
Внутрилегочное кровоизлияние	130	
Саркоидоз	131	
Туберкулез	132	
ДД множественных очаговых затемнений	133	
Гранулематоз Вегенера	134	
Множественные метастазы	134	
ДД кольцевидных теней и полостных образований	135	
Аспергиллез	136	
Некроз опухоли при раке легкого	136	
Проверьте себя!	137	
Глава 8	Линейные и ретикулярные затемнения	
Учебные цели главы	139	
Варианты нормы	140	
Венозное полнокровие и отек легких	141	
Венозное полнокровие при эмфиземе легких	142	
Альвеолярный отек легких	143	
Формы пневмонии	144	
Пневмоцистная пневмония	146	
ДД пневмонии	147	
Пневмокониоз	148	
Силикоз	149	
Асбестоз	149	
Фиброз легких	150	
Бронхэкстatischeальная болезнь	151	
Карциноматозный лимфангит	152	
Проверьте себя!	154	
Глава 9	Инородные тела	
Учебные цели главы	157	
Центральный венозный катетер	158	
Осложнения	159	
Порт-системы	160	
Катетеры для гемодиализа	161	
Катетеризация легочной артерии	162	
Кардиостимулятор		
Введение электрокардиостимулятора	163	
Электрокардиостимулятор типа DDD	164	
Электрокардиостимулятор типа AAI	165	
Электрокардиостимулятор типа VDD	165	
Бивентрикулярный электрокардиостимулятор	166	
Имплантируемый кардиовертер-дефибриллятор	167	
Имплантируемый кардиомонитор	167	
Стент-графты	168	
Коронарные стенты	168	
Внутриаортальная баллонная контрапульсация	169	
Аппарат вспомогательного кровообращения левого желудочка	169	
Глава 10	Травма грудной клетки	
Учебные цели главы	183	
Переломы ребер и гемоторакс	184	
Гемоторакс	186	
Оценка объема гемоторакса	187	
Переломы грудинь и тел позвонков	188	
Повреждения паренхимы легких	189	
Пневмоторакс	190	
Пневмомедиастинум	193	
Целенаправленная ультразвуковая оценка при травме (FAST)	194	
Проверьте себя!	196	
Глава 11	Реанимационное отделение	
Учебные цели главы	197	
Инородные тела	198	
Венозное полнокровие и отек легких	200	
РДСВ и РДСН	201	
Пневмоторакс на рентгенограммах в положении лежа на спине	202	
Дренирование плевральной полости	204	
Гемоторакс	208	
ТЭЛА	208	
Проверьте себя!	209	
Приложение		
Ответы к проверочным заданиям	210	
Радиационная безопасность	223	
Принципы получения рентгеновского изображения	223	
Цифровые системы	223	
Предметный указатель	224	
Предметный указатель (окончание)	ЗКО*	
Список литературы	ЗКО	
Цифровой ключ	ЗКО	

* ЗКО – задний клапан обложки.

Матиас Хофер

Грудная стенка: скелет и мягкие ткани

Цельные цели главы:

Анализ рентгенограммы включает также изучение изменений мягких тканей и костных структур. Необходимо помнить о том, что мягкие ткани на обычной рентгенограмме грудной клетки выглядят, как серый фон низкой плотности, рентгенолог должен обращать внимание на любые изменения.

При большинстве изменений костного скелета хорошо различаются, вам следует помнить, что используемое рентгеновое излучение не является оптимальным для их диагностики. Поэтому, если результаты исследования недоказаны и требуется дополнительная информация, следует выполнить рентгенографию интересующих областей в других режимах или провести КТ-исследование.

После изучения данной главы вы должны уметь:

- отличать анатомические варианты строения мягких тканей грудной стенки от патологических изменений,
- распознавать и дифференцировать патологические скопления воздуха в тканях,
- правильно определять кардиоторакальный индекс по рентгенограмме грудной клетки,
- распознавать изменения скелета грудной клетки и, при необходимости, рекомендовать выполнение уточняющих диагностических исследований,
- выявлять при анализе рентгенограммы видимые патологические изменения верхнего отдела брюшной полости.

Асимметрия прозрачности легочных полей	36
Мастэктомия	
Мягкотканые затемнения	
Скопления воздуха	38
Пневмомедиастиnum	
Эмфизема мягких тканей	
Скелет грудной клетки	39
Варианты нормы	
Ключицы	40
Акромиально-ключичное сочленение	40
Плечевая кость	41
Ребра	42
Дегенеративные изменения позвоночника	43
Костные метастазы	46
Верхний этаж брюшной полости	48
Проверьте себя!	49

Асимметрия прозрачности легочных тканей

Полноценное исследование грудной клетки включает в себя оценку мягких тканей грудной стенки и ее костных структур, в том числе, нижних шейных позвонков. Мягкие ткани грудной клетки у разных людей различаются по своей толщине и плотности в значительной степени в зависимости от пола, алиментарного статуса и степени тренированности.

Одностороннее усиление прозрачности может возникать по различным причинам. У пациенток после **мастэктомии** можно обнаружить усиление прозрачности в нижнем отделе легкого с соответствующей стороны (★) и отсутствие тени молочной железы по сравнению с против-

3
воположной (здоровой) стороной (↑↑↑ на **рис. 36.1а**). В сомнительных случаях обращайте внимание на металлические клипсы (↗) после лимфодиссекции подмышечных лимфоузлов, что может служить косвенным признаком онкологического заболевания в анамнезе (**рис. 36.1б**). Различие в прозрачности нижних отделов легких может быть выражено очень сильно (**рис. 36.2**) или незначительно, как, например, показано на **рис. 36.3** у пациента после левосторонней мастэктомии. Ключевой момент данной ситуации – не принимать ошибочно это различие за внутрileгочное затемнение или плевральный выпот (см. стр. 106-109).

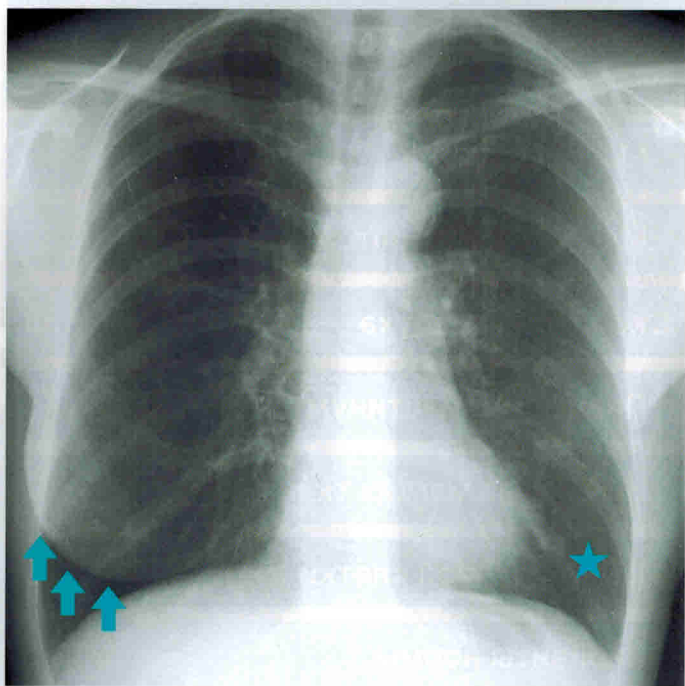


Рис. 36.1а

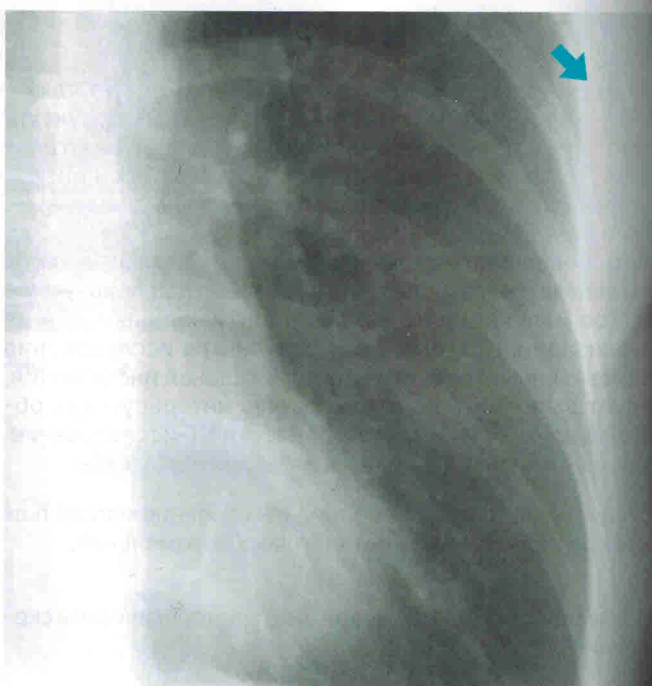


Рис. 36.1б

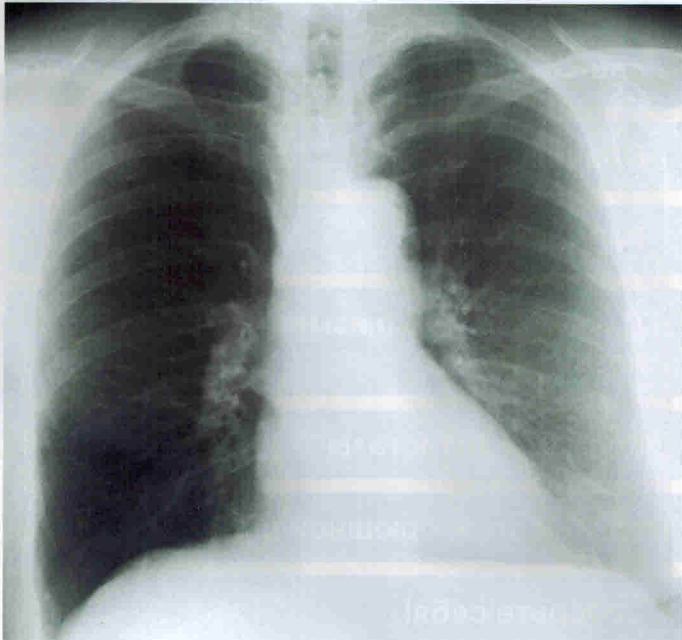


Рис. 36.2

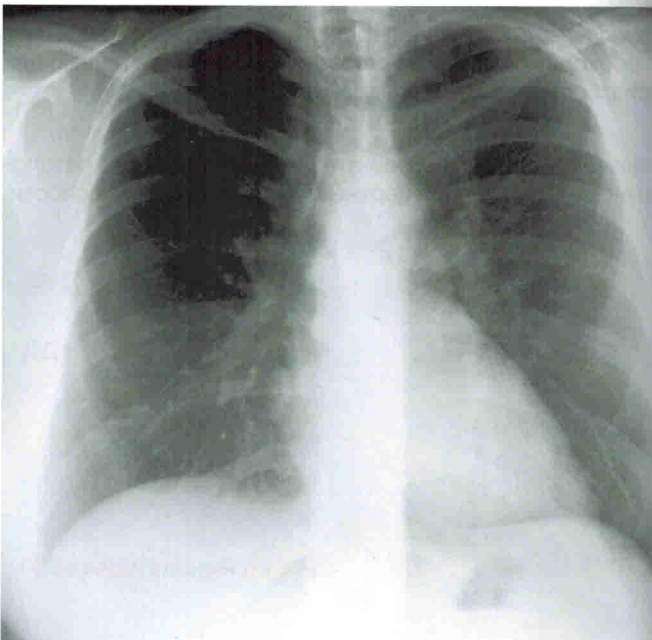


Рис. 36.3

К другим причинам относятся: состояние после радикального иссечения шейных лимфоузлов, посттравматические гематомы грудной стенки или четко очерченные участки гипер- или атрофии мышц. Можете ли вы вспомнить еще одну причину повышения прозрачности одного легочного поля на рентгенограмме, выполненной в положении лежа? Если нет, то вернитесь для повторения на стр. 26 (глава 2).

Другие мягкотканые затемнения

Еще одним источником путаницы служат соски (\rightarrow), которые могут быть ошибочно приняты за внутрилегочные образования округлой формы (рис. 37.1а).

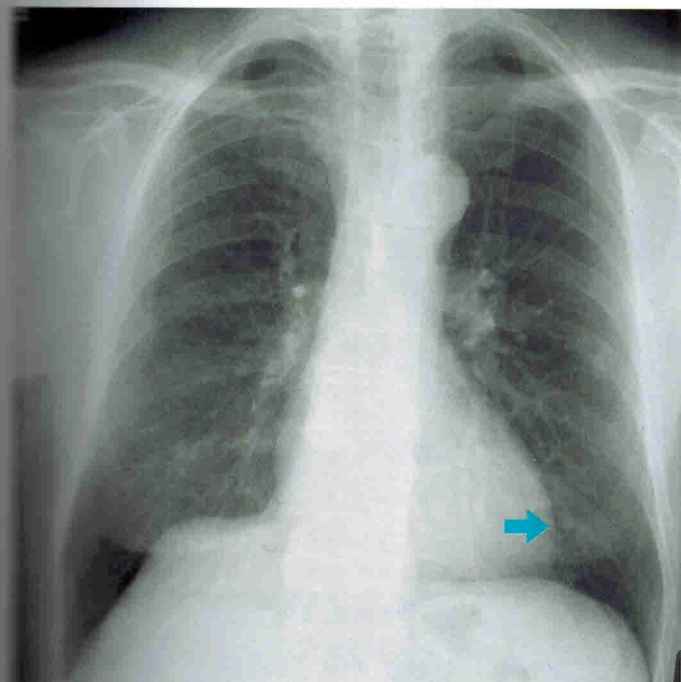


Рис. 37.1а

В сомнительных случаях выполняется контрольная рентгенография после пометки сосков накожными металлическими маркерами (рис. 37.1б). Заплетенные в косы (рис. 37.2) или распущенные волосы (\downarrow) могут приводить к появлению на снимке артефактов, симулирующих подкожную эмфизему или восходящий пневмомедиастинум (см. стр. 99).

Ампутационная культура верхней конечности обычно выглядит на рентгенограмме в БП, как колбообразное затемнение (\blacktriangleright) на уровне верхнего средостения (рис. 37.3), которое можно перепутать с объемными образованиями этой области.

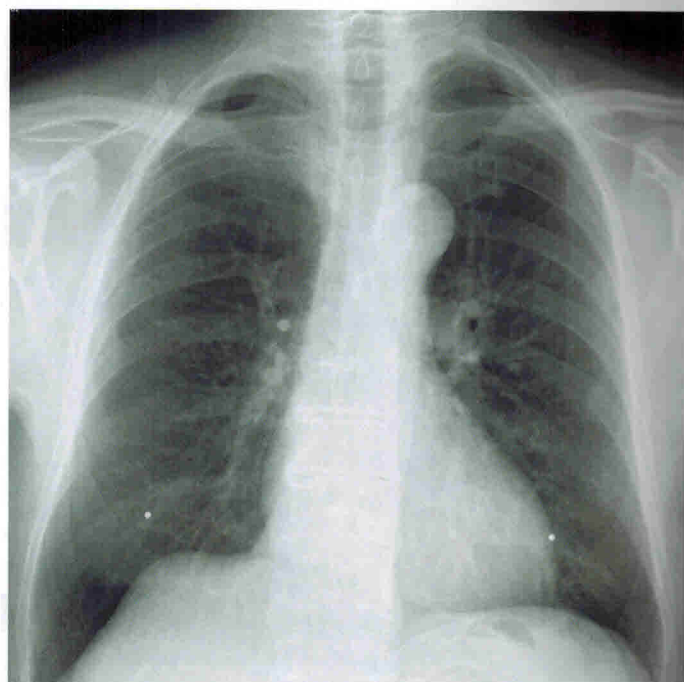


Рис. 37.1б

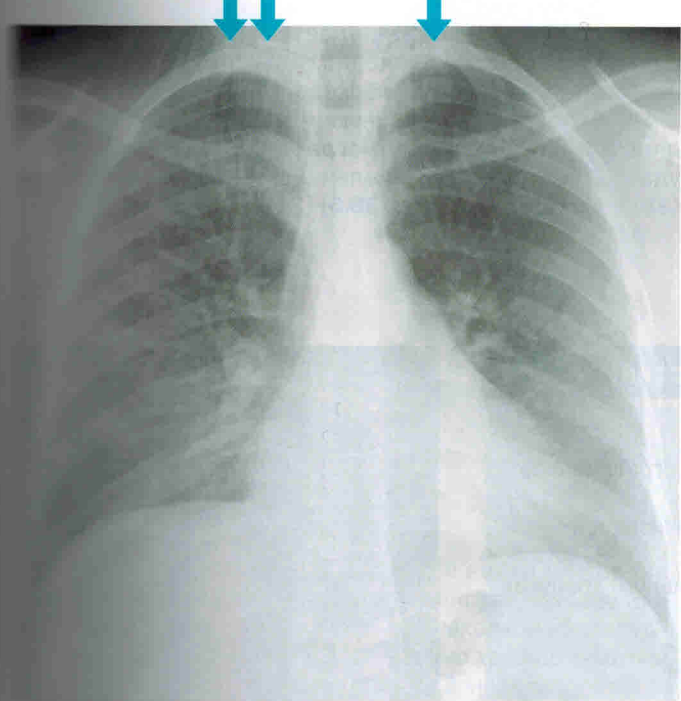


Рис. 37.2

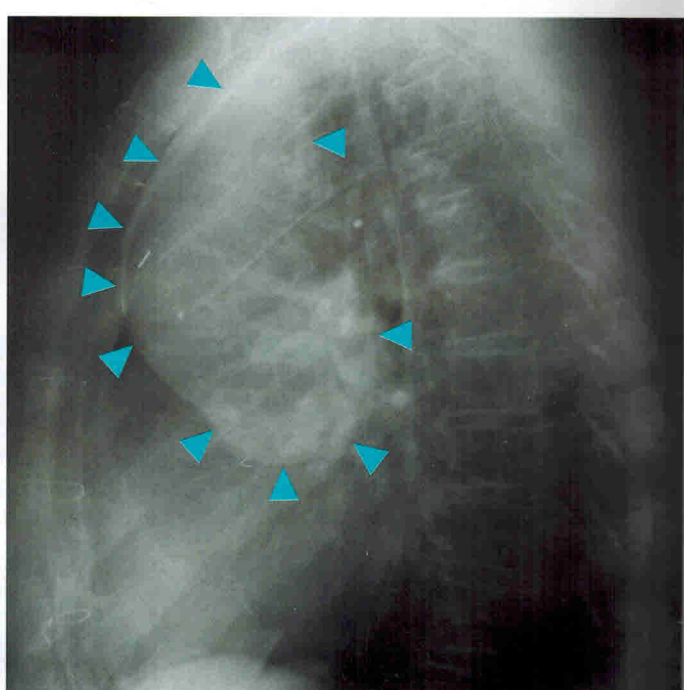


Рис. 37.3

Скопления воздуха в мягких тканях

Следует обращать внимание на возможное скопление воздуха в мягких тканях. Наиболее частой причиной скопления воздуха в средостении является спонтанный пневмомедиастинум [3.1]. Однако существует и множество других причин, которые приведены в **табл. 38.1**. Диагностика травматической эмфиземы мягких тканей более подробно рассмотрена в главе 10 (стр. 193).

Возможные причины пневмомедиастинума

Спонтанный:	Крик, рвота, гипервентиляция, проба Вальсальвы, громкое пение
Травматический:	Перелом ребер, разрыв трахеи, баротравма, инородные тела
Неопластический:	Перфорация пищевода, аррозивные поражения дыхательных путей
Ятрогенный:	ИВЛ, эндоскопическое исследование
Воспалительный:	Нисходящий заглоточный абсцесс

Табл. 38.1

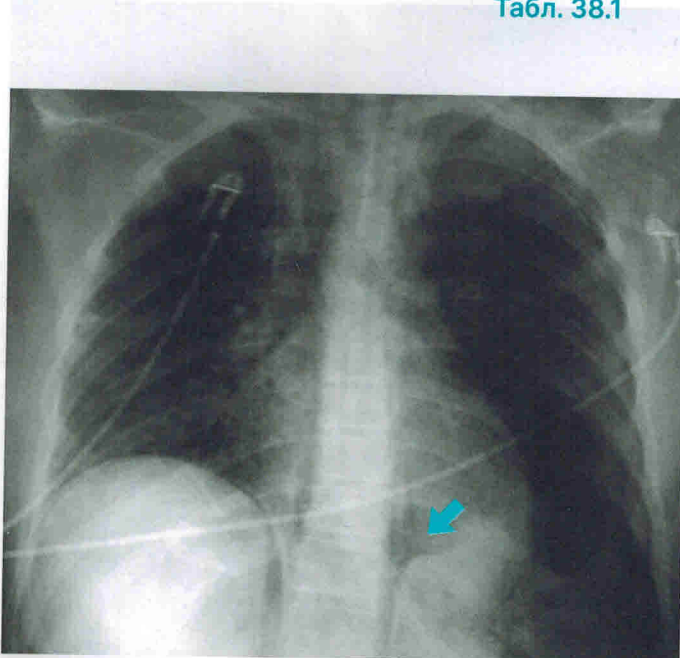


Рис. 38.2

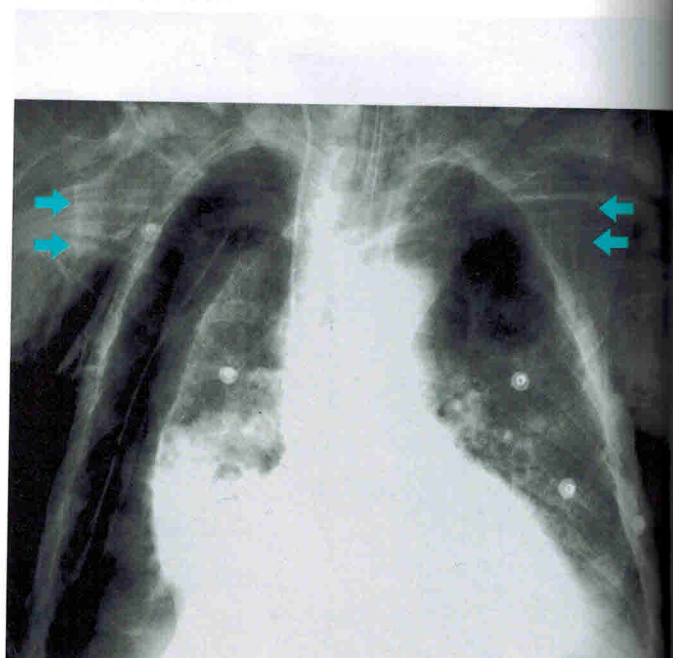


Рис. 38.3

Выраженные просветления в ЗПП обнаруживаются прежде всего вдоль контуров сердца и/или аорты (↗) за счет смещения медиастинальной части париетальной плевры (**рис. 38.2**). В тяжелых случаях воздух также попадает в грудные мышцы, в результате чего их перистость (↔) становится четко заметна (**рис. 38.3**). Характерные рентгенологические признаки пневмомедиастинума перечислены в **табл. 38.4**. Примерно половину случаев

пневмомедиастинума не удается диагностировать по рентгенограмме в ЗПП, поэтому часто требуется выполнение рентгенограммы в боковой проекции.

Наиболее чувствительным методом диагностики является компьютерная томография, с помощью которой удается выявить даже мельчайшие скопления воздуха (38) в средостении (**рис. 38.5**) [3.2].

Рентгенологические признаки пневмомедиастинума

- Эмфизема мягких тканей шеи
- Выраженное просветление вдоль контуров сердца / аорты, ограниченное снаружи париетальной плеврой
- Суб- / ретрокардиальное скопление воздуха с четкой визуализацией диафрагмы на всем протяжении
- Вилочковая железа у детей визуализируется в виде треугольного «паруса»
- Пневмоторакс
- Пневмоперикард
- Воздух вокруг фиброзного кольца клапана легочной артерии

Табл. 38.4

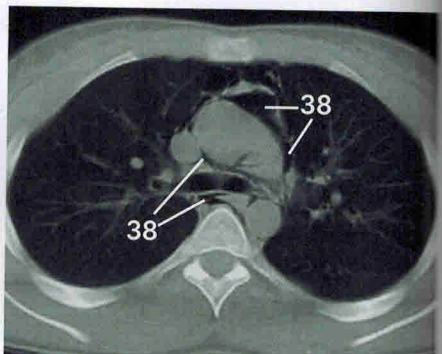


Рис. 38.5

Матиас Хофер

Очаговые изменения легочных полей

Чтобы выучить:

В дифференциальной диагностике очаговых затемнений легких в первую очередь необходимо отличать одиночные очаговые и круглые тени от множественных. Также следует отличать затемнения с обызвествлениями кольцевидных теней с просветлением в центре. Последние в большинстве случаев соответствуют опухоли некрозом, полости (каверне) или кисте. После изучения данной главы вы должны уметь:

- называть критерии доброкачественности очаговых затемнений,
- описывать возможную картину и осложнения рака легкого,
- назвать не менее пяти критериев идентификации очаговых затемнений в легком,
- описывать рентгенологические признаки различных стадий саркоидоза,
- распознавать классическую рентгенологическую картину туберкулеза,
- проводить ДД кольцевидных теней в легких.

ДД одиночных очаговых затемнений

Общие критерии ДД	124
ДД одиночных очаговых затемнений	125
Одиночные метастазы легких	126
Доля непарной вены	127
Рак легкого	128
Внутрилегочное кровоизлияние	130
Саркоидоз (болезнь Бека)	131
Туберкулез	132
ДД множественных очаговых затемнений	
Милиарный туберкулез, саркоидоз, аспирация мекония, грибковая пневмония	133
Гранулематоз Вегенера, метастазы легких	134
ДД кольцевидных теней и полостных образований в легком	
Бронхоэктазы, абсцессы, кавернозная форма туберкулеза	135
Аспергиллез, опухоль с некрозом	136
Проверьте себя!	137

Общие критерии ДД очаговых затемнений

Хотя существует множество причин очаговых затемнений легких, чаще всего встречаются туберкуломы, рак легкого и доброкачественные гамартомы. Вместе они составляют более 2/3 всех круглых теней, выявляемых на рентгено-

граммах грудной клетки ([табл. 124.1](#)). По статистике после 40 лет резко возрастает вероятность злокачественных новообразований [7.1].

Причины очаговых затемнений легких

Частые:

- Туберкулома
- Рак легкого
- Гамартома
- Метастазы

Редкие:

- Пневмонии и абсцессы
- Кисты бронхов
- Аденома бронха
- Нейрофиброма

Критерии доброкачественности

- Размеры не изменяются в течение 2 лет и более
- На КТ — плотность жировой ткани
- Глыбчатое или попкорноподобное обозначение

Табл. 124.1

Критерии доброкачественности

Новообразования с глыбчатым или попкорноподобным обозначением считаются доброкачественными. Этот признак патогномоничен для доброкачественных гамартом, которые состоят из хрящевой, мышечной и жировой тканей. Однако это правило не всегда применимо, поскольку многие гамартомы не содержат обозначений,

Табл. 124.2

а некоторые метастазы при хондро- или остеосаркоме (около 1% всех легочных метастазов) также могут содержать включения кальция. Но все же общепринято, что очаговые затемнения в легких с обозначениями являются скорее доброкачественными ([табл. 124.2](#)).

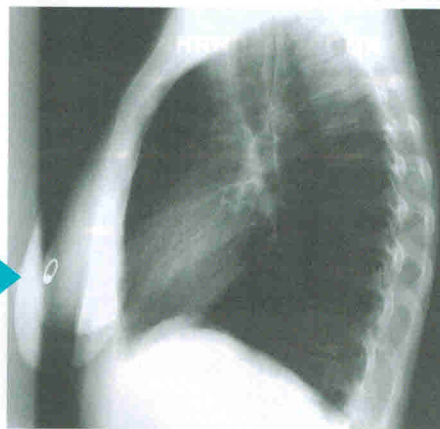


Рис. 124.3



Рис. 124.4

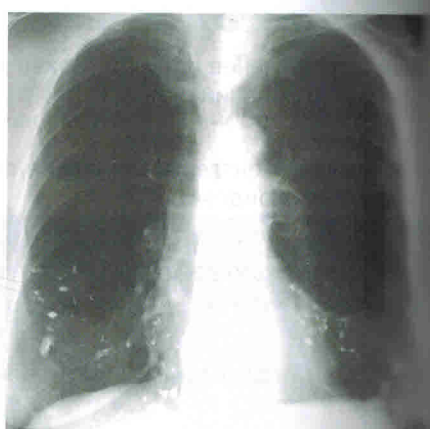


Рис. 124.5

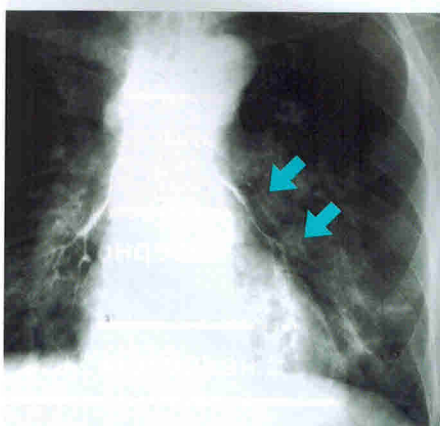


Рис. 124.6a

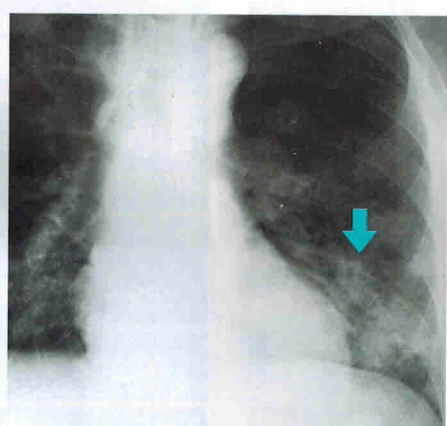


Рис. 124.6b



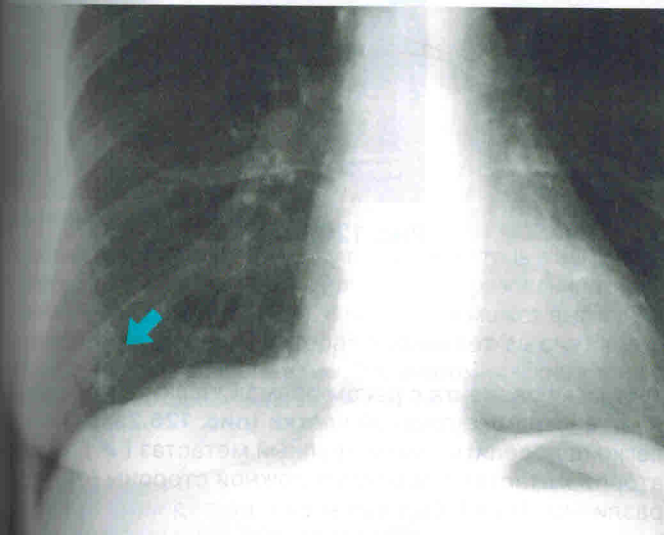
Рис. 124.7

очаговые затемнения с плотностью кальция могут быть вызваны наличием металла после пирсинга сосков (на [рис. 124.3](#)) или дроби после огнестрельного ранения (на [рис. 124.4](#)). При аспирации контрастного вещества может наблюдаться схожая картина ([рис. 124.5](#)). Однако инфицированное контрастное вещество не всегда выглядит как очаговое затемнение, а может обволакивать тонкие стенки бронхов (↙), делая более заметной окружность затемнения ([рис. 124.6a](#)). В приведенном при-

мере контрастное вещество распределилось таким образом, что, не зная анамнеза, его можно ошибочно принять за пневмонию базальных отделов левого легкого (↙ на [рис. 124.6b](#)). Некоторые изменения при отсутствии обычных признаков злокачественных новообразований интерпретировать достаточно сложно: на [рис. 124.7](#) рядом с ЭКГ-электродом (↗) располагаются несколько доброкачественных гранулем (↖), которые рентгенологически напоминают метастазы (см. стр. 126, 134).

Дифференциальная диагностика одиночных очаговых затемнений

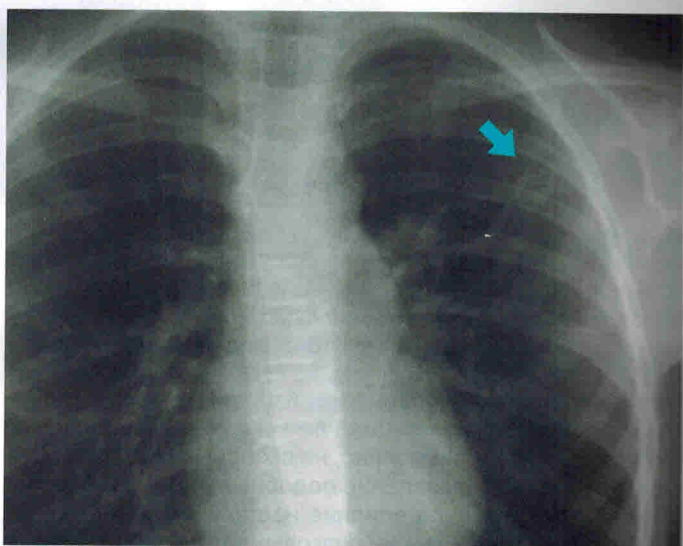
Одно очагом в рентгенологии понимают, как правило, одиночную тень в легком размером до 1 см в диаметре. Идентифицировать злокачественное новообразование от доброкачественного – нелегкая задача. Например, доброкачественная гамартома (↖) на [рис. 125.1](#) практически



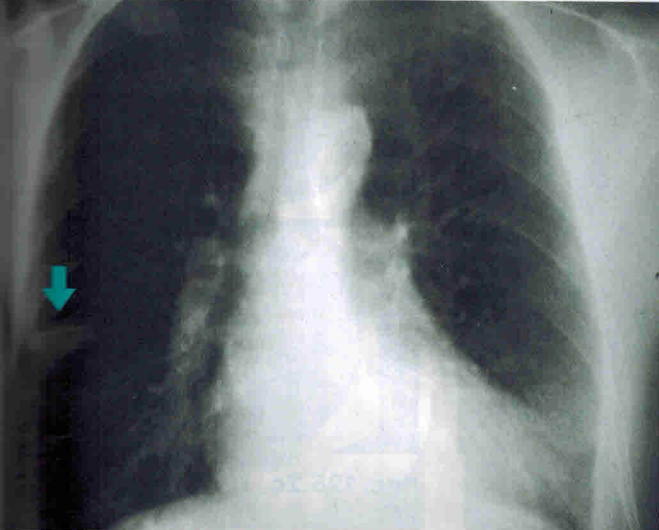
[Рис. 125.1](#)

частного чаще встречается осумкованный выпот в горизонтальной междолевой щели правого легкого. Он часто по форме напоминает лимон (↙) и проецируется в горизонтальную междолевую щель как в прямой, так и

в боковой проекции ([рис. 125.3](#)). Если осумкованный выпот определяется не в типичном месте, его легко можно спутать с опухолью.



[Рис. 125.2](#)



[Рис. 125.3a](#)



[Рис. 125.3b](#)

Принципиальная задача лучевой диагностики – обнаружение еще небольших опухолей на ранних стадиях, когда еще нет метастазирования или имеется распространение только в области первичного очага. Круглая тень в ВО правого легкого на **рис. 126.1** была расценена как злокачественная и поэтому образование удалено хирургическим

путем. На контрольной рентгенограмме после операции (**рис. 126.1c**) отмечается высокое стояние правого купола диафрагмы (↑) и признаки послеоперационной эмфиземы мягких тканей (↔). Вдоль наружного контура тени средостения видны металлические клипсы. Подозрение на злокачественную природу новообразования подтверждено

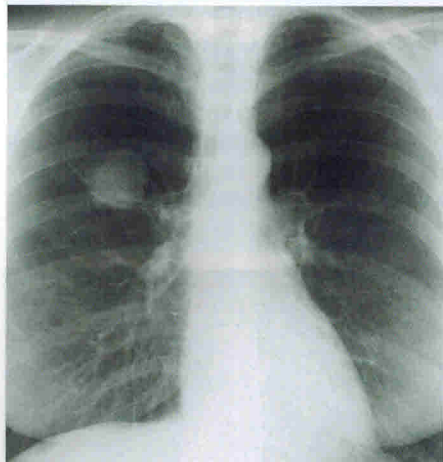


Рис. 126.1а

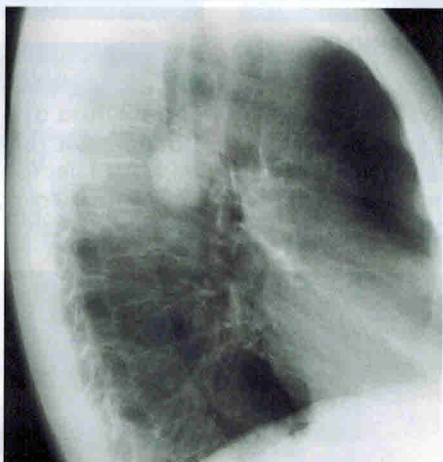


Рис. 126.1б

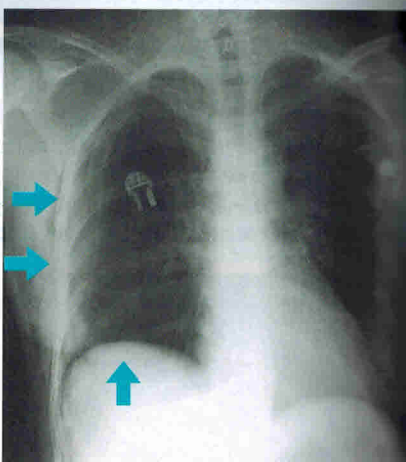


Рис. 126.1с

Метастазы в легких

Всегда существует опасность, например, перед планируемой частичной резекцией легкого не заметить другие метастазы, особенно мелкие, на обзорных рентгенограммах. Разумеется, выявление подобных образований оказывает существенное влияние на дальнейшее лечение. Поэтому при обнаружении очаговых затемнений в легком неясной этиологии следует выполнить КТ-исследование грудной клетки и живота для выявления возможных сопутствующих образований или первичного очага. На следующих снимках (**рис. 126.2а-с**) можно увидеть ме-

тастазы у пациента с раком прямой кишки: на обзорной рентгенограмме грудной клетки (**рис. 126.2а, б**) можно легко определить самый крупный метастаз (↑), однако второй метастаз с противоположной стороны (↔) менее различим. На КТ был выявлен еще ряд метастазов во всех долях обоих легких (**рис. 126.2с**). Поэтому проводить частичную резекцию с лечебной целью не имеет смысла. Советы по дифференциальной диагностике первичных опухолей, которые метастазируют в легкие, перечислены на следующей странице.

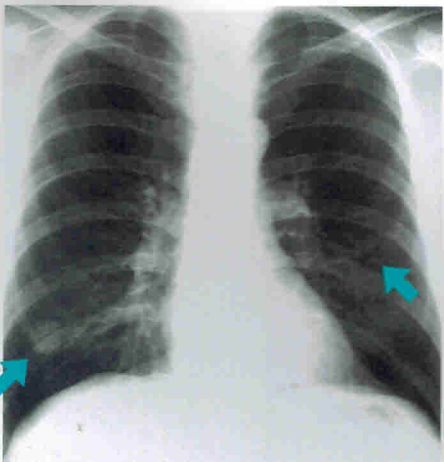


Рис. 126.2а

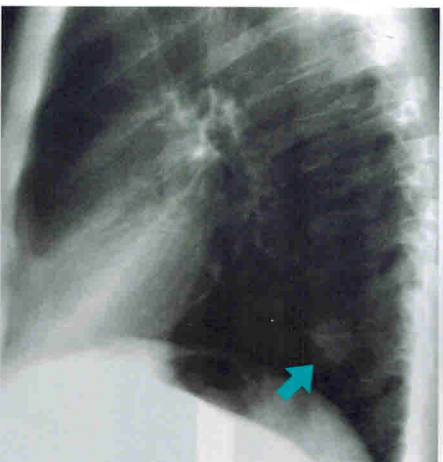


Рис. 126.2б

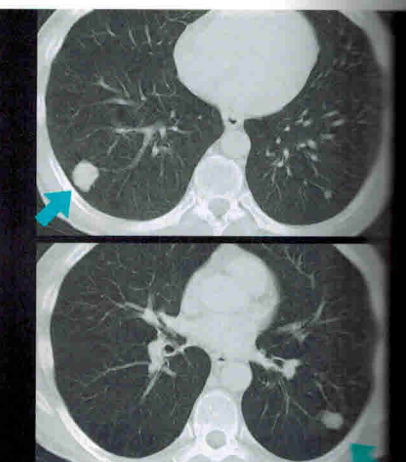


Рис. 126.2с

Изменения

ные опухоли, чаще всего метастазирующие в легкие: рак молочной железы, почки, колоректальный рак, а также злокачественные новообразования головы и шеи (рис. 127.1). На рис. 127.2 показан метастаз достаточно больших размеров (↓). У пациенток с раком молочной железы часто обнаруживается карциноматозный лим-

фангит (см. стр. 152) со злокачественным плевральным выпотом. В таких случаях выполняют торакоцентез (см. стр. 60-61) и проводят цитологическое исследование выпота. Метастазы с обызвестлениями встречаются редко, в основном при хондро- и остеосаркозе, раке щитовидной железы и аденокарциноме ЖКТ.

Первичные первичные опухоли, метастазирующие в легкие

- рак молочной железы
- почки
- злокачественные опухоли головы и шеи
- колоректальный рак
- матки и яичников
- поджелудочной железы
- простаты
- желудка

Рис. 127.1

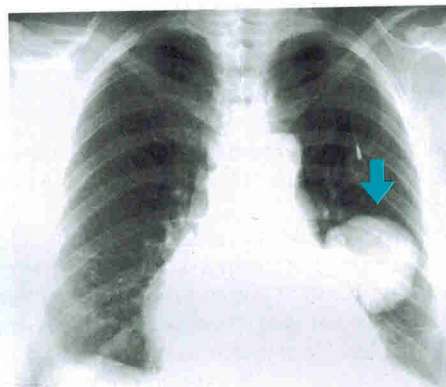


Рис. 127.2a

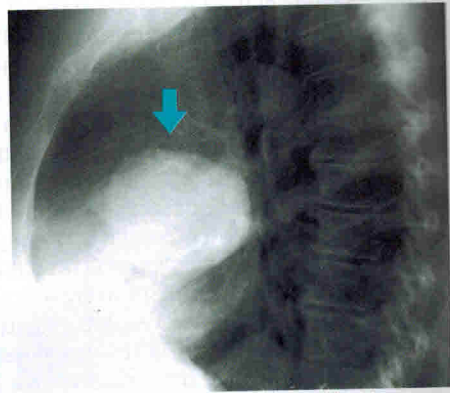


Рис. 127.2b

Непарной вены

Вы обнаружили одиночную очаговую тень в ВО правого легкого (↑), проверьте, не идет ли от образования тонкая стрелка вверх (рис. 127.3). В норме так может выглядеть анатомия плевры, которая возникает за счет дугового хода непарной вены. Это анатомический вариант, при котором вена проходит не вдоль медиальной

границы плевры по соседству с легким (рис. 127.4a), а погружается в висцеральную плевру, образуя небольшой отделенный участок легочной ткани, называемый долей непарной вены (рис. 127.4b). На КТ (рис. 127.5) четко виден ход непарной вены (15) от края грудных позвонков (26) к расположенной впереди верхней полой вене (1).

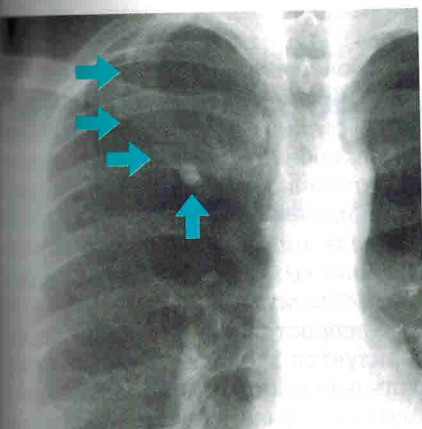


Рис. 127.3

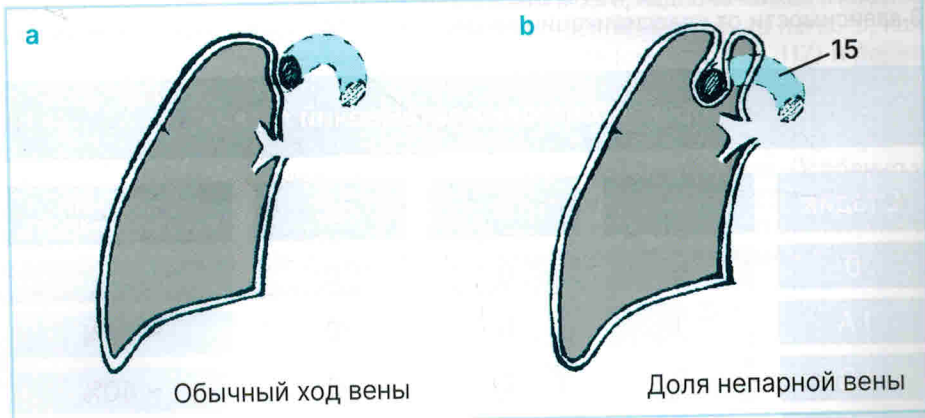


Рис. 127.4

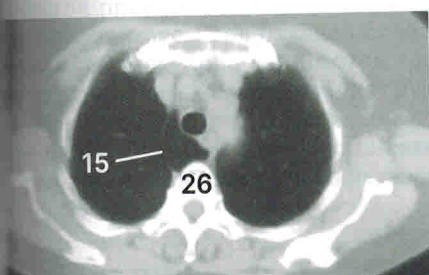


Рис. 127.5a

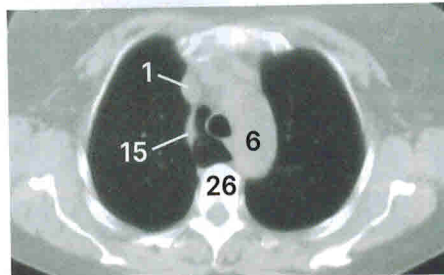


Рис. 127.5b

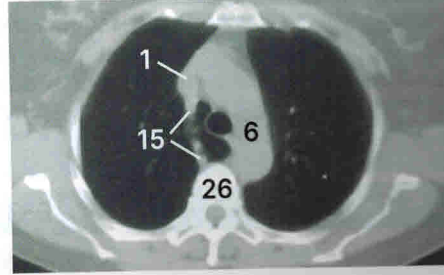


Рис. 127.5c

Матиас Хофер

Травма грудной клетки

Чтобыные цели главы:

В данной главе обсуждаются важные изменения, связанные с травмой грудной клетки. В Западной Европе травмы грудной клетки чаще всего являются следствием автомобильных аварий, несчастных случаев или травм на производстве. Алгоритм ведения пациента с травмой включает в качестве первичной диагностики проведение УЗИ для выявления или исключения свободной жидкости в полостях тела. Диагностика костных структур грудной клетки осуществляется с помощью традиционной рентгографии. В первичной диагностике травм грудной клетки чаще используется мультиспиральная КТ, поэтому в подобных ситуациях выполнение обычной рентгенографии не требуется. Но поскольку выполнение КТ-исследования само в приемном покое не всегда доступно, рентгенологическое исследование все также сохраняет свое значение. После изучения данной главы вы должны уметь:

диагностировать переломы ребер, грудины и тел позвонков,

распознавать патологические скопления жидкости в плевральной полости и оценивать их объем,

распознавать различные проявления повреждений легочной паренхимы,

дифференцировать простой пневмоторакс от напряженного,

определять скопления воздуха в мягких тканях,

выявлять значимые кровотечения в серозные полости (перикард, брюшную и плевральную полости) при помощи УЗИ.

Переломы ребер	184
Изолированные переломы ребер	
Множественные переломы ребер	
Гемоторакс	186
Оценка объема гемоторакса	
Переломы грудины	188
Переломы тел позвонков	188
Повреждения паренхимы легких	189
Пневмоторакс	190
Пневмомедиастинум	193
Целенаправленная ультразвуковая оценка при травме (FAST)*	194
Проверьте себя!	196

10

Наиболее частые причины возникновения политравм отличаются от континента к континенту. Если в Европе 85% политравм происходят в результате дорожно-транспортных происшествий [10.1, 10.2], то в США и Африке основной причиной травм грудной клетки являются колото-резаные и огнестрельные ранения [10.3, 10.4]. Травмы грудной клетки оказываются смертельными у 20-25% пациентов с политравмой, поэтому их правильная диагностика имеет крайне важное значение [10.5].

Переломы ребер и гемоторакс

Изолированные переломы отдельных ребер можно легко пропустить при рутинном обследовании пациентов (рис. 184.1а), потому что основное внимание сосредоточено на сердце, средостении и легких. Считается, что на обзорной рентгенограмме грудной клетки в ЗПП видны только 50% всех переломов ребер [10.6, 10.7]. Особенно затруднен поиск в тех случаях, когда переломы находятся на боковой стенке грудной клетки, а смещение отломков минимальное.

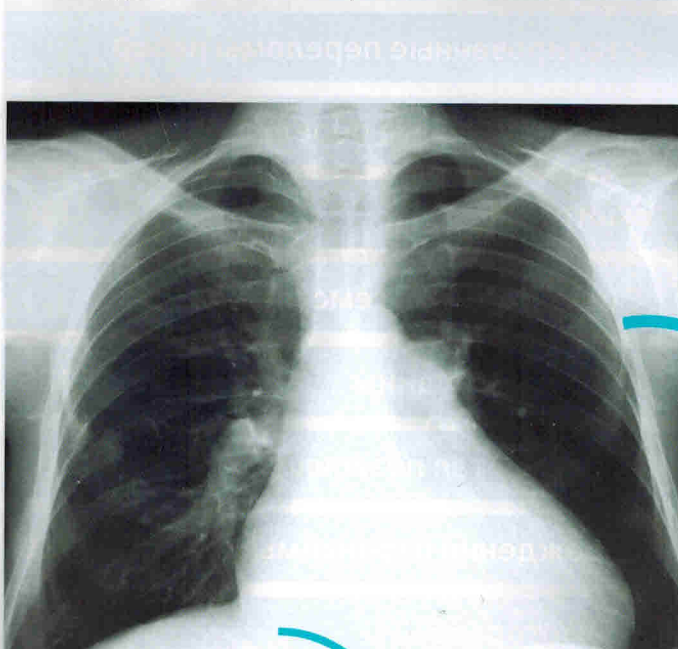


Рис. 184.1а

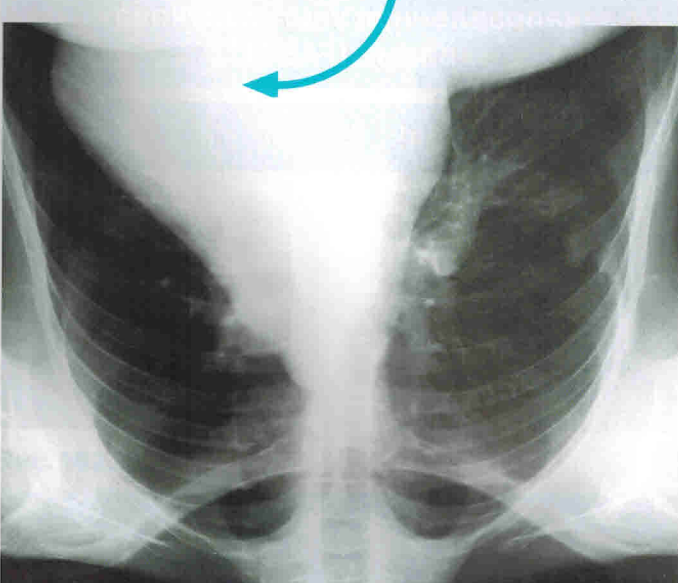


Рис. 184.1с

В сомнительных случаях попробуйте повернуть рентгенограмму на 90° (рис. 184.1б) или 180° градусов (рис. 184.1г). Рассматривая снимок сбоку или сверху, вы, возможно, быстрее обнаружите прерывистость контуров ребер.

Если вы внимательно посмотрите на рис. 184.1д, то увидите, что не только VII ребро сломано (обратите внимание на прерывистость кортикальной пластиинки, ←), но также и соседнее VIII ребро имеет небольшую ступеньку (→).

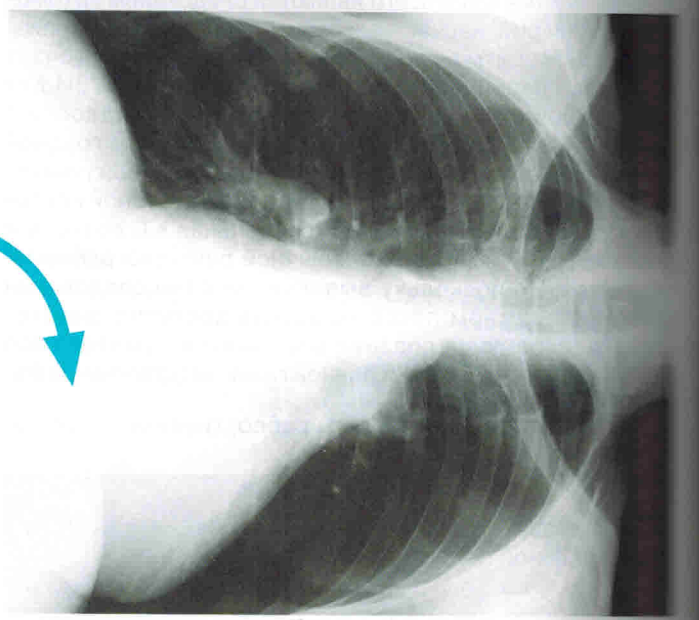


Рис. 184.1б

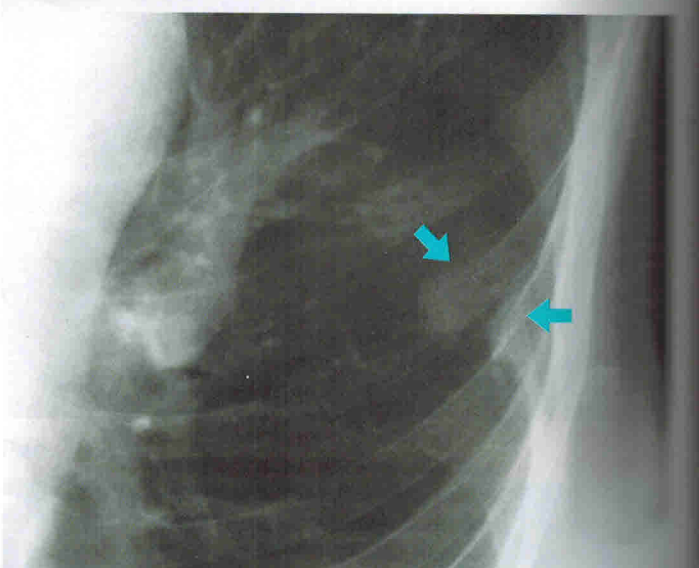


Рис. 184.1д

Переломы ребер часто сочетаются с локальными внеплевральными гематомами, которые определяются на рентгенограмме как затемнение (выпячивание) мягких тканей (↗), смещающее легкое дугообразно кнутри (рис. 186.1) и тем самым имитирующее расположенную

близко к плевре опухоль. При УЗИ определяется ступенька (↑) кортикальной пластиинки ребра, которая может смещаться при дыхании (рис. 186.2а), а также гипогенное расширение окружающих мягких тканей (↗) вызванное гематомой (рис. 186.2б).

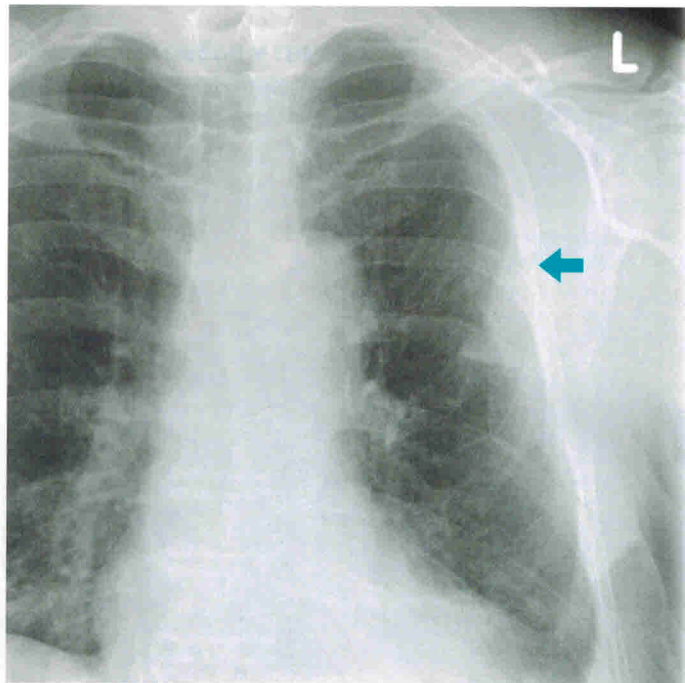


Рис. 186.1

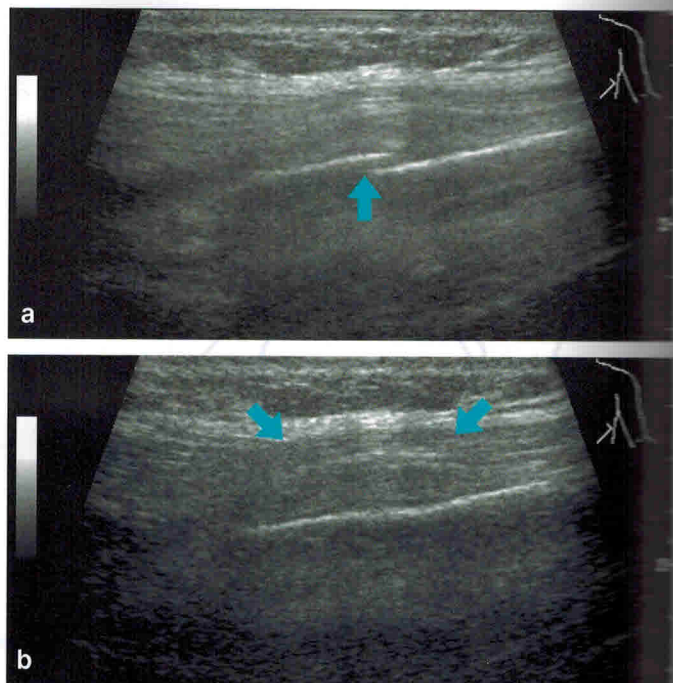


Рис. 186.2

Гемоторакс

Гемоторакс обычно развивается как осложнение множественных переломов ребер. На рентгенограммах он выглядит, как затемнение в форме полумесяца, тянущегося вверх (↗ на рис. 186.3а). После плевральной пункции затемнение значительно уменьшается в размерах

(рис. 186.3б). В этой ситуации вы также должны не забывать о возможной травме органов брюшной полости для исключения разрывов печени и селезенки выполнить УЗИ (см. стр. 194-195).

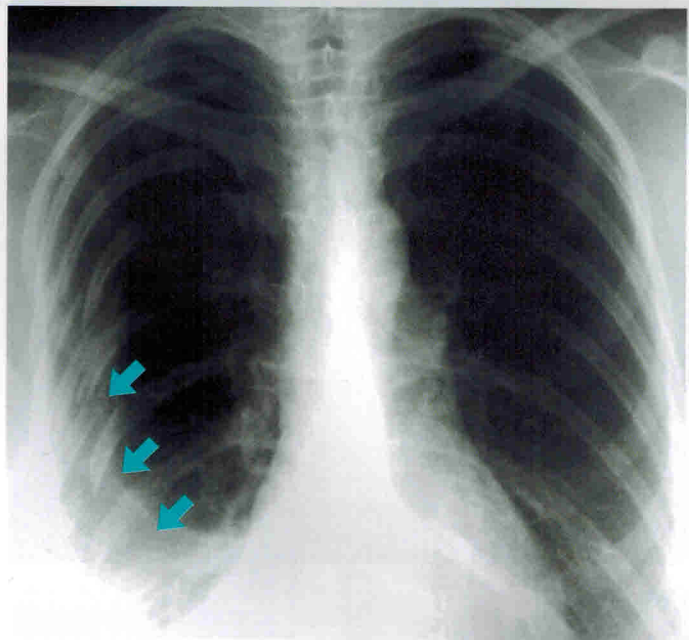


Рис. 186.3а

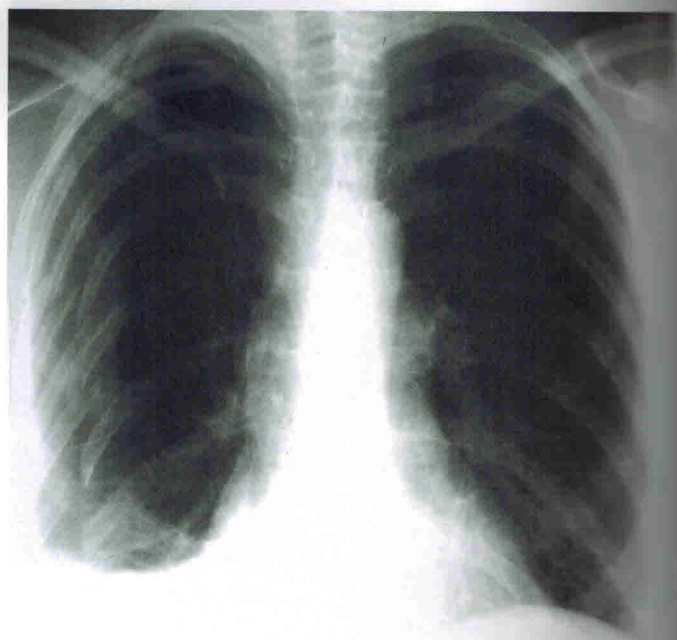


Рис. 186.3б